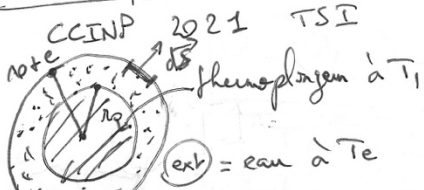


Première partie - Format de calcaire à la surface d'1 temps Tyear



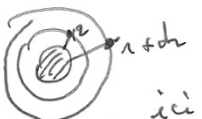
l-47 - $T_p = T(r_0 + e)$ → température à la paroi de tarte
 $\phi = \int_S \vec{j} \cdot \vec{ds}$ iii. $d\vec{s} = dS \frac{\vec{r}}{r}$ → il s'agit de la surface latérale
 et $\vec{j} = j(r) \frac{\vec{r}}{r}$

donc $\phi = \int_S j(r) dS = j(r) S$
 car $j(r)$ ne dépend que de r
 et est uniforme sur l

Unité de ϕ = puissance thermique

$$= \frac{W}{m^2}$$

l-48 - Réalisons un bilan énergétique sur un cylindre élémentaire de tarte compris entre r et $r+dr$ de volume dV en lui appliquant le 1er principe de la thermo



$$d(V + \bar{E}_m) = dQ + dW$$

ici $d\bar{E}_m = 0$ car le cylindre est immobile
 $dW = 0$ car le cylindre solide est indélébile
 $dQ = dQ_{éch} + dQ_{sorc} = dQ_{éch}$ en l'absence de source

donc $dV = dQ_{éch} = 0$ en régime permanent ($V(t+dt) = V_0$)

$dQ_{éch} = [-\phi(r+dr) + \phi(r)] dt$
 flux entrant en r → flux sortant en $r+dr$

donc $\frac{d\phi}{dr} = 0 \rightarrow$ le flux est conservatif !

avec $S (= S_{LAT}) = 2\pi r L$ et $\phi = j(r) S$

$$\frac{d}{dr} (2\pi r L j(r)) = 0 \rightarrow \boxed{\frac{d}{dr} (r j(r)) = 0}$$

l-49 - loi de Fourier : $\vec{j} = -\lambda \vec{\text{grad}} T$
 le vecteur densité de courant ! avec λ la conductivité thermique du tarte.
 est $\vec{\text{grad}} T$ un gradient de T !
 ici avec $T = T(r)$

$$\boxed{\vec{j} = -\lambda \frac{dT}{dr} \frac{\vec{r}}{r}}$$

$$\text{donc } \boxed{j(r) = -\lambda \frac{dT}{dr}}$$

l-50 - A partir de 48 et 49 :

$$\frac{d}{dr} \left(-\lambda \frac{dT}{dr} r \right) = 0 \rightarrow r \frac{dT}{dr} = \text{cste} = A$$

$$\text{donc } \frac{dT}{dr} = \frac{A}{r} \xrightarrow{\text{integrale}} \boxed{T(r) = A \ln r + B}$$

Détermination de A : exploitons CL en $r=r_0$ et $r=r_0+e$

$$\begin{cases} T(r=r_0) = T_1 = A \ln r_0 + B \\ T(r=r_0+e) = T_p = A \ln(r_0+e) + B \end{cases}$$

$$\text{donc } A [\ln(r_0+e) - \ln r_0] = T_p - T_1$$

$$A = \frac{T_p - T_1}{\ln \left(\frac{r_0+e}{r_0} \right)}$$

$$(Rq) T_1 > T_p \quad \text{donc } A < 0$$

$$l-51 - \boxed{j(r) = -\lambda \frac{dT}{dr} = -\frac{dA}{r}}$$

$$l-52 - \phi = S j(r) = 2\pi r L j(r)$$

$$\boxed{\phi = -2\pi L \lambda A}$$

Q-53 - Par déf: $\Delta T = \overline{T_2} - \overline{T_p} = \frac{R_t \phi}{\overline{\mu L}} > 0$

$$R_t = \frac{\overline{T_2} - \overline{T_p}}{\phi}$$

d'anc

$$R_t = - \frac{\overline{T_2} - \overline{T_p}}{2\overline{\mu L} A} = \frac{\overline{T_p} - \overline{T_2}}{2\overline{\mu L} A}$$

Q-54 - Par déf: $\Delta T = \overline{T_2} - \overline{T_e} = R_{cc} \phi_{t \rightarrow e}$

donc $\overline{T_p} - \overline{T_e} = R_{cc} \times R \left(\overline{T_p} - \overline{T_e} \right) \times \frac{2\overline{\mu} (r_0 + e) L}{\text{surface lab. en } r = r_0 + e}$

$$R_{cc} = \frac{1}{2\overline{\mu} L (r_0 + e) h}$$

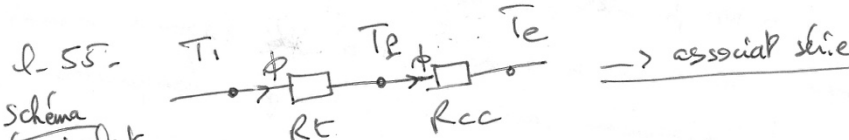


schéma équivalent

$$\begin{aligned} T_i &\xrightarrow{\text{R}_t} T_p \xrightarrow{\text{R}_{cc}} T_e \\ \Delta T &= \overline{T_i} - \overline{T_e} = \log \frac{\overline{T_p}}{\overline{T_e}} \leftrightarrow R_{eq} = R_t + R_{cc} \end{aligned}$$

Q-55. bis Avec $R_t = \frac{\overline{T_p} - \overline{T_2}}{2\overline{\mu} L A} = \frac{(\overline{T_p} - \overline{T_1}) \ln \left(\frac{r_0 + e}{r_0} \right)}{2\overline{\mu} L (\overline{T_p} - \overline{T_2})}$

$$R_t = \frac{\ln \left(\frac{r_0}{r_0 + e} \right)}{2\overline{\mu} L}$$

$$R_{eq} = \frac{1}{2\overline{\mu} L (r_0 + e) h} + \frac{\ln \left(\frac{r_0 + e}{r_0} \right)}{2\overline{\mu} L}$$

Q-56 - IP faut trouver r_{min} tel que $R(r_{min}) = R(e=0)$
Pour $e > r_{min}$ $R(e)$ est alors supérieure à la résistance therm. sans tortue, augmentant l'isolation thermique du thermoflagonneur chauffant.

Ainsi pour $r_0 = 1,0 \text{ cm} \rightarrow r_{min} = 0$

pour $r_0 = 0,8 \text{ cm} \rightarrow r_{min} \approx 0,25 r_0$

pour $r_0 = 1, \text{cm} \rightarrow r_{min} \approx 1,4 r_0$

Q-57 - On souhaite maintenir la température de l'eau à T_e , il faut donc utiliser un flux thermique fixe par l'intermédiaire de la résistance chauffante. Pour évacuer un même flux, lorsque la résistance équivalente augmente la température \overline{T}_2 du thermoflagonneur augmente (en effet $\overline{T}_2 - \overline{T_e} = \log \frac{\overline{T_p}}{\overline{T_e}}$), augmentant le risque de surchauffe.

Sur les 3 combes présentées, on remarque que les situations défavorables, où r_{min} est faible, et où la résistance augmente très avec l'épaisseur de tortue sont celles pour lesquelles

$\overline{T}_2 < r_0$, la résistance thermique est alors très dominée par la conduction-convection dont la résistance \overline{T} avec e .

En effet pour $\overline{T}_2 < r_0$, $\frac{dR_{eq}}{de}$ est très \oplus avec $r_{min} = 0$!

$$\frac{dR_{eq}}{de} = - \frac{1}{2\overline{\mu} h L (r_0 + e)^2} + \frac{1}{2\overline{\mu} L} \times \frac{r_0}{r_0 (r_0 + e)}$$

$$= \frac{1}{2\overline{\mu} L (r_0 + e)^2} \left(-\frac{1}{R} + \frac{r_0}{r_0 + e} \right)$$

Pour $r_0 > \frac{l}{h} \rightarrow \frac{dR_{eq}}{de} > 0$ (R_{eq}) diminue avec e
et $e_{min} = 0$!
L'entraînage augmente très le risque de surchauffe.

Pour limiter ces risques, on prendra $r_0 \leq \frac{l}{h} = \frac{9.3}{100} = 9.3\text{mm}$

(Q46) Il faudra cependant choisir r_0 suffisamment grand, pour une puissance de chauffage nécessaire (à courant convenable)

Q.58 - Analyse dimensionnelle de l'éq. de diffusion :

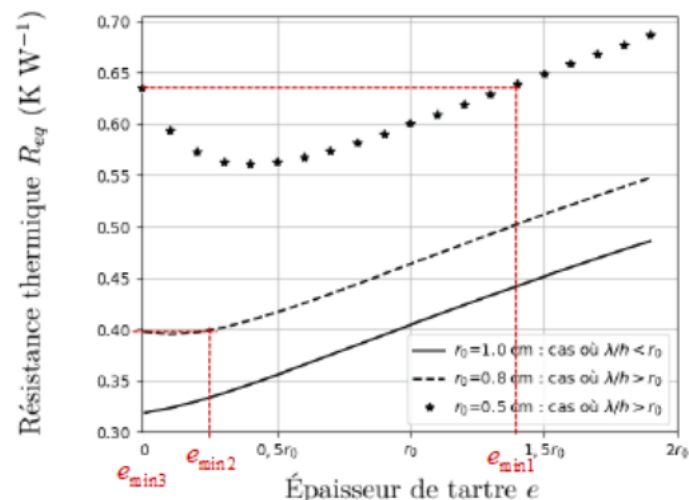
$$D = \frac{|\partial T|}{|\Delta t|} = \frac{K \cdot s^{-1}}{K \cdot m^{-2}} = \left[m^2 \cdot s^{-1} \right]$$

Q.59 - Avec l la distance caractéristique et τ la durée caract. du régime de diff et t la durée caract. du régime de chauffage

$$l^2 = D \tau \quad \text{ainsi} \quad \frac{\tau}{t} = \frac{D \tau}{D a} \left(\frac{r_0}{e} \right)^2 = \frac{1}{\lambda a} \frac{P_{acc}}{pt ct} \approx 1 = \frac{8}{75} \approx 0.1$$

La diffusion dans l'acier est bien plus rapide.
Le facteur limitant le transfert thermique vers l'eau est bien l'entraînage, ce qui ralentit le chauffage pour maintenir T_e en demande + d'énergie.

Q46 – Détermination graphique de r_{min}

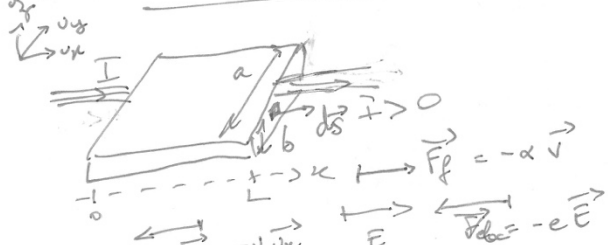


Deuxième partie - Conduction électrique et effet Hall.

2021-CCINP

TPC

I-1 - Mécanisme de la conduction électrique



d-16 - Non relativiste $\rightarrow \sqrt{\ll c}$ pas d'effet relativiste à prendre en compte

d-17 - Par déf $\rightarrow f = p v$ avec p la densité de charges

$$f = -mv e v$$

$$I = \iint f \cdot ds \quad \text{avec } ds = dS \vec{v_K}$$

$$I = \iint -mv e (-\vec{v_K}) \cdot ds \vec{v_K} = mv e \iint_S \vec{v} ds$$

uniforme
sur S

$$I = mv e v ab$$

d-18 - Appliquons la PFD à un e^- de masse m dans le réfé.
gitter du métal :

$$m \frac{dv}{dr} = \Sigma F_{actr} = F_{elec} + F_f$$

composante électrique de la force de Lorentz

(absence de champ B ici)

$$m \frac{dv}{dr} = -e \vec{E} - \times \vec{v}$$

$$\frac{dv}{dr} + \frac{\vec{v}}{\tau} = -\frac{e}{m} \vec{E} \quad \text{avec } \tau = \frac{mc}{\lambda}$$

τ représente la durée du régime transitoire au bout duquel les e^- atteignent leur vitesse finale de migration (en régime permanent). D'un point de vue microscopique, il s'agit du temps moyen entre 2 collisions pour les e^- .

$$d-19 - -\frac{1}{mv} \left(\frac{d\vec{v}}{dr} + \frac{\vec{v}}{\tau} \right) = -\frac{e}{m} \vec{E}$$

$$\boxed{\frac{d\vec{v}}{dr} + \frac{\vec{v}}{\tau} = \frac{mv^2}{m} \vec{E}}$$

$$d-20 - \text{En régime statique. } \frac{d\vec{v}}{dr} = \vec{0}$$

$$\text{donc } \boxed{\vec{v} = \gamma \vec{E} = \left(\frac{mv^2}{m} \right) \vec{E}}$$

Loi d'Ohm locale

d-21 - Aluminium $Z=13$ Structure électronique $K^{2} L^{8} M^{3}$

couche de valence $3e^-$ $\underbrace{1s^2}_{K} \underbrace{2s^2 2p^6}_{L} \underbrace{3s^2 3p^1}_{M}$
 $\hookrightarrow 3e^-$ de conduct

$$\tau = \frac{mv}{mv^2} \quad \text{avec } mv = \frac{4 \times 3}{\text{taille}} = \frac{12}{a^3}$$

$$\text{CFC} \rightarrow \text{paramètre de maille } a$$

$$a\sqrt{2} = 4 R_A F \quad \text{donc } a = \frac{4R_A F}{\sqrt{2}}$$

avec 8 atomes / sommets
6 atomes / face

6 entités par maille

valeur temporelle du champ de E

$$\tau = \frac{9.1 \cdot 10^{-31} \times 37.7 \cdot 10^8}{1.715 \cdot 10^{29} \times (1.6 \cdot 10^{-19})^2} a^{1/2}$$

$$\boxed{\tau = 4.9 \cdot 10^{-15} s}$$

- Loi d'Ohm valable tant que

Loi valable jusqu'aux infrarouges

$$\boxed{f \ll \frac{1}{\tau} \approx 10^{16} \text{ Hz}}$$

222 - Équation de conservation de la charge

$$\frac{\partial \mathbf{p}}{\partial t} + \operatorname{div} \vec{f} = \mathbf{0}$$

I-2- d'effet Hall

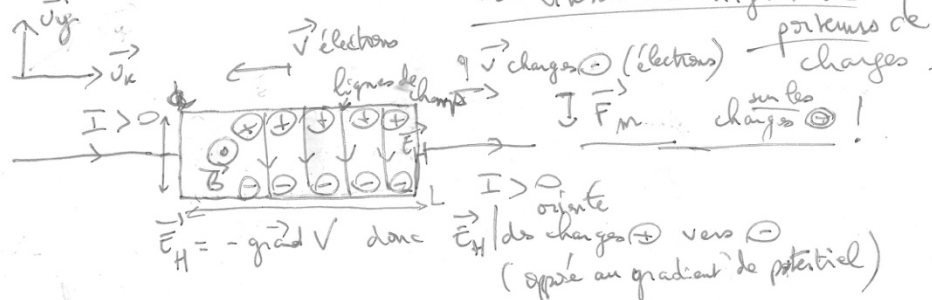
a - Aspect qualitatif

$$d25 - \boxed{\vec{F_m} = q \vec{v} \times \vec{B}}$$

$$l-16 - \boxed{P = \vec{F}_m \cdot \vec{v} = 0}$$

(produkt mixte nul)

27-28



L'accumulation d'électroïdes sur une face et le défaut sur l'autre créent un gradient de potentiel électrique à l'origine de l'apparition du champ électrique de Hall.

b- Modélisation

$$L-2g - m \frac{d\vec{v}}{dt} = -e \vec{E} - \alpha \vec{v} - e \vec{v} \lambda \vec{B}$$

$$\frac{d\vec{v}}{dt} + \frac{\vec{v}}{t} + \frac{e}{m} \vec{v} \lambda \vec{B} = - \frac{e}{m} \vec{E}$$

$$Q=30 - \text{Avec } \vec{f} = -m_v \vec{v} \quad \rightarrow \quad x = \frac{m_v}{v}$$

$$\frac{d\vec{j}}{dt} + \vec{\frac{j}{t}} + \frac{e}{m} \vec{j} \lambda \vec{B} = + \frac{mc^2}{m} \vec{E}$$

$$\frac{d\vec{r}}{dt} + \vec{\omega}_c = \left(\frac{e\vec{B}}{m} \right) \lambda \vec{j} = \left(\frac{Mv_c^2}{m} \right) \vec{E}$$

$$\boxed{\vec{\omega}_c = \frac{e\vec{B}}{m}}$$

$$\frac{Mve^2}{M} = \frac{\alpha'}{NM}$$

$$\frac{Mve^2}{m} = \frac{\alpha'}{N}$$

$$\frac{Mve^2}{m} = \gamma$$

$$\boxed{\omega_c = \frac{eB}{m}}$$

Q-31 - W_c est le pulsat cyclotron à laquelle un e⁻ tourne
autour du champ B (lorsque celle-ci exige uniquement)

d-32 - En régime permanent, l'éq. diff. devient :

$$\frac{\vec{J}}{\epsilon} - \vec{\omega}_c \times \vec{J} = \frac{g}{\tilde{m}} \vec{B}$$

$$\vec{E} = \frac{\vec{j}}{\gamma} - \frac{e\omega}{\gamma} \vec{v}_3 \times \vec{j}$$

En proj. sur \vec{e}_x et \vec{e}_y

$$\begin{cases} E_x = \frac{j_x}{\gamma} + \frac{\epsilon_{xc}}{\gamma} j_y \\ E_y = \frac{j_y}{\gamma} - \frac{\epsilon_{xc}}{\gamma} j_x \end{cases} \rightarrow \begin{pmatrix} E_x \\ E_y \end{pmatrix} = \begin{pmatrix} \frac{1}{\gamma} & \frac{\epsilon_{xc}}{\gamma} \\ -\frac{\epsilon_{xc}}{\gamma} & \frac{1}{\gamma} \end{pmatrix} \begin{pmatrix} j_x \\ j_y \end{pmatrix}$$

$$\text{Unité des } \langle ij \rangle = \left[\frac{C}{A} \right] = \Omega \cdot m$$

Résistivité = inverse de la conductivité

$$\begin{aligned} \rho_{xx} &= \rho_{yy} = \frac{1}{\gamma} \\ \rho_{xy} &= -\rho_{yx} = \frac{\epsilon_{xc}}{\gamma} \end{aligned}$$

$$Q.33 - E_y = \frac{j_y}{\gamma} - \frac{\epsilon_{xc}}{\gamma} j_x = -\frac{\epsilon_{xc}}{\gamma} j_x \quad \text{avec } j_y \approx 0$$

$$I = j_x \cdot ab \quad \text{et} \quad V_H = \int dV = - \int E_y dy = -E_y \cdot a, \quad J_H = \frac{\epsilon_{xc} a}{\gamma} j_x$$

$$\frac{V_H}{I} = R_H \quad \Rightarrow \quad R_H = \frac{V_H}{I} = \frac{\epsilon_{xc} a}{\gamma I} \times \frac{A}{ab}$$

$$R_H = \frac{\epsilon_{xc}}{\gamma b} = \frac{mc \times B}{mve \times \gamma b}$$

$$\boxed{R_H = \frac{B}{mveb}}$$

Q.36 - Pour B , connus V_H et I , on a accès à R_H donc mve

Pour mve et b connus, on a accès à B .

$$Q.35 - AN : R_H = \frac{1}{1.72 \cdot 10^{-3} \times 1.6 \cdot 10^{-19} \times 10^{-4}} \approx \frac{1}{4} \cdot 10^6 \Omega$$

$$\text{alors } V_H \approx 1 \times \frac{1}{4} \cdot 10^{-6} \text{ e} \approx 99 \text{ fract de } \mu V!$$

Cette tension est très difficilement mesurable (appareil classique capable de mesurer des millièmes de millivolt)

Q.36 - Pour un semi-conducteur (ex : silicium)

comme le silicium

$$m_v = 1.8 \cdot 10^{14} \times e^{-\frac{172 \cdot 10^{-3} \times 1.6 \cdot 10^{-19}}{1.38 \cdot 10^{-23} \times 300}}$$

$$m_v = 10 \cdot 10^{14} \cdot 10^{-3} \quad C^{-0.665 \times 10^3} \text{ à } T \approx 300K$$

$$C^{-1.25 \cdot 10^{-3}}$$

La densité en portée de charge est divisée par 10^2 !

par rapport à un bon conducteur ohmique

La tension de Hall sera alors de l'ordre du Volts dans les

conditions précédentes, alors facilement mesurable.

$$Q.37 - R_H = \frac{B}{mve - \frac{S}{k_B T} cb} = \frac{B}{mveb} e^{\frac{S}{k_B T}}$$

$$\ln R_H = \ln \frac{B}{mveb} + \frac{S}{k_B T}$$

Dérivée

$$\frac{dR_H}{R_H} = \frac{-S}{k_B T^2} dT \rightarrow \boxed{\frac{\Delta R_H}{R_H} = + \frac{S}{k_B T^2} \Delta T}$$

$$AN : \Delta T = 10K \quad T = 300K$$

$$\boxed{\frac{\Delta R_H}{R_H} = \frac{172 \cdot 10^{-3} \times 1.6 \cdot 10^{-19}}{1.38 \cdot 10^{-23} \times (300)^2} \times 10 = 22 \times 10^{-15}}$$

$= 22\%$!!

Inconvénient : la valeur de R_H et V_H est très sensible à la température et notamment à l'effet Joule qui fait augmenter la température du matériau.

Les saptions actuels sont spécifiquement conçus pour éviter efficacement cette chaleur et maintenir une T le + constante possible.

Purification du Nickel CCINP MP 2022

L'enthalpie libre standard de réaction s'écrit :

$$\Delta_r G^0 = \Delta_r H^0 - T \Delta_r S^0, \text{ soit } \alpha = \Delta_r H^0 \text{ et } \beta = -\Delta_r S^0$$

On utilise la loi de Hess pour trouver $\Delta_r H^0$ en sachant que $\Delta_f H^0(Ni_{(s)}) = 0$:

$$\alpha = \Delta_r H^0 = \Delta_f H^0(Ni(CO)_{4(g)}) - 4\Delta_f H^0(CO_{(g)}), \text{ soit avec le changement d'état :}$$

$$\alpha = \Delta_f H^0(Ni(CO)_{4(l)}) + \Delta_{\text{vap}} H^0(Ni(CO)_4) - 4\Delta_f H^0(CO_{(g)})$$

$$\text{AN : } \alpha = -158 \text{ kJ.mol}^{-1}$$

On utilise la définition de l'entropie molaire :

$$\beta = -\Delta_r S^0 = -S_m^0(Ni(CO)_{4(g)}) + S_m^0(Ni_{(s)}) + 4S_m^0(CO_{(g)}), \text{ soit avec le changement d'état :}$$

$$\beta = -S_m^0(Ni(CO)_{4(l)}) - \frac{\Delta_{\text{vap}} H^0(Ni(CO)_4)}{T_{\text{vap}}} + S_m^0(Ni_{(s)}) + 4S_m^0(CO_{(g)})$$

$$\text{AN : } \beta = 407 \text{ J.K}^{-1}.\text{mol}^{-1}$$

La température d'inversion est atteinte pour :

$$\Delta_r G^0(T_i) = 0 = \alpha + \beta T_i, \text{ soit } T_i = -\frac{\alpha}{\beta}$$

$$\text{AN : } T_i = 388 \text{ K} = 115^\circ\text{C}$$

On calcule les constantes d'équilibre à l'aide de la relation :

$$K^0(T) = \exp\left(-\frac{\Delta_r G^0(T)}{RT}\right), \text{ soit } K^0(T) = \exp\left(-\frac{\alpha + \beta T}{RT}\right)$$

$$\text{AN : } K^0(50^\circ\text{C}) = 1,97 \cdot 10^4 \text{ et } K^0(160^\circ\text{C}) = 6,30 \cdot 10^{-3}$$

(b) $\alpha = \Delta_r H^0 < 0$: on en déduit que la réaction est **exothermique**.

$-\beta = \Delta_r S^0 < 0$: il y a une **diminution du désordre** au cours de la réaction, car il y a une diminution du nombre total de moles de gaz.

Si on augmente la température de manière isobare, on ne modifie pas le quotient réactionnel, mais on diminue la constante d'équilibre comme le montre la loi de Van't Hoff :

$$\frac{d \ln(K^0)}{dT} = \frac{\Delta_r H^0}{RT^2} < 0$$

On a donc $Q_r > K^0$, l'équilibre est donc déplacé dans le **sens indirect** (correspondant au sens endothermique).

Si on augmente la pression de manière isotherme, on ne modifie pas la constante d'équilibre quotient réactionnel, mais on diminue le quotient réactionnel comme le montre son expression :

$$Q_r = \frac{x_{Ni(CO)_4}}{x_{CO}^4} \times \left(\frac{P^0}{P}\right)^3$$

On a donc $Q_r < K^0$, l'équilibre est donc déplacé dans le **sens direct** (correspondant à une diminution du nombre total de moles de gaz).

(c) La réaction étant exothermique, les fours s'échaufferaient si on n'utilisait pas d'eau de refroidissement. Il est important de rester à une température inférieure à la température d'inversion pour avoir une réaction déplacée dans le sens direct.

Pour maintenir le réacteur isotherme, l'eau doit évacuer une quantité de chaleur égale à celle produite par la transformation d'une tonne de minerai de carbonyle :

$$Q = -n\Delta_r H^0, \text{ soit } Q = -\frac{m}{M(Ni)} \Delta_r H^0$$

$$\text{AN : } Q = 2,7 \cdot 10^9 \text{ J}$$

On applique la loi d'action des masses à l'équilibre chimique :

$$K^0 = \frac{x_{Ni(CO)_4}}{x_{CO}^4} \times \left(\frac{P^0}{P}\right)^3$$

en sachant que $x_{CO} = 1 - x_{Ni(CO)_4}$. On obtient en notant $x = x_{Ni(CO)_4}$:

$$K^0 = \frac{x}{(1-x)^4} \times \left(\frac{P^0}{P}\right)^3$$

En supposant la réaction très avancée, on fait l'hypothèse que $x \approx 1$, et on cherche $\epsilon = 1 - x \ll 1$, soit :

$$K^0 = \frac{1}{\epsilon^4} \times \left(\frac{P^0}{P}\right)^3, \text{ soit } \epsilon = \sqrt[4]{\frac{1}{K^0} \times \left(\frac{P^0}{P}\right)^3}$$

$$\text{AN : } \epsilon = 8,4 \cdot 10^{-2} \ll 1 : \text{l'hypothèse est validée, on en déduit } x = 92 \%$$

(d) On s'intéresse à l'équilibre de vaporisation du tétracarbonyle de nickel :

$$Ni(CO)_{4(\ell)} = Ni(CO)_{4(g)} \text{ de constante d'équilibre } K_2^0$$

On intègre la loi de Van't Hoff entre les températures T_1 et T_2 :

$$\int_{T_1}^{T_2} \frac{d \ln(K_2^0)}{dT} dT = \int_{T_1}^{T_2} \frac{\Delta_{\text{vap}} H^0}{RT^2} dT, \text{ soit } \ln\left(\frac{K_2^0(T_2)}{K_2^0(T_1)}\right) = \frac{\Delta_{\text{vap}} H^0}{R} \left(\frac{1}{T_1} - \frac{1}{T_2}\right)$$

La constante d'équilibre K_2^0 est donnée par la loi d'action des masses :

$$K_2^0 = \frac{P_{Ni(CO)_4}}{P^0} = \frac{x P_{eq}}{P^0}$$

On en déduit la pression d'équilibre à la température T_2 :

$$\ln\left(\frac{P_{eq}(T_2)}{P_{eq}(T_1)}\right) = \frac{\Delta_{\text{vap}} H^0}{R} \left(\frac{1}{T_1} - \frac{1}{T_2}\right), \text{ soit } P_{eq}(T_2) = P_{eq}(T_1) \exp\left[\frac{\Delta_{\text{vap}} H^0}{R} \left(\frac{1}{T_1} - \frac{1}{T_2}\right)\right]$$

$$\text{AN : } P_{eq}(T_2) = 21 \text{ bar. En travaillant à une pression } P = 20 \text{ bar, on ne dépasse pas cette condition d'équilibre.}$$

On en déduit que le tétracarbonyle de nickel est à l'état gazeux.

(e) On reprend la loi d'action des masses :

$$K^0 = Q_{r,eq} = \frac{x}{(1-x)^4} \times \left(\frac{P^0}{P}\right)^3$$

On calcule numériquement le quotient réactionnel avec $x = 0,66$: $Q_{r,eq} = 6,2 \cdot 10^{-3}$. On obtient un très bon accord avec la valeur de $K^0(160^\circ\text{C}) = 6,3 \cdot 10^{-3}$, ce qui valide $x = 0,66$ à l'équilibre.

On constate qu'on forme moins de tétracarbonyle qu'à 50°C (défavorable pour la thermodynamique), mais on augmente la vitesse de réaction (favorable pour la cinétique). Il faut réaliser un **compromis** pour une production industrielle.